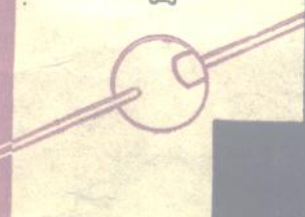
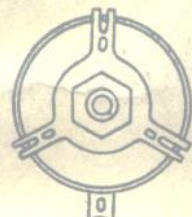
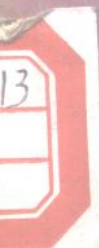


高频用陶瓷电容器

〔苏联〕 M. E. 阿尔然斯基 著



上海科学技术出版社



内 容 提 要

本书叙述了在现代各种无线电设备中广泛使用的小功率功率陶瓷电容器的种类、结构、主要特性、制造工艺和试验方法。

在电容器制造和使用过程中所出现的现象，尽可能与其生产工艺结合来谈。

本书适用于在电容器制造业中工作的工程师、技术员和工长以及无线电设备的设计师阅读。

高 频 用 陶 瓷 电 容 器

КЕРАМИЧЕСКИЕ КОНДЕНСАТОРЫ МАЛОЙ
РЕАКТИВНОЙ МОЩНОСТИ

原著者 [苏联] М. Е. Аршанский

原出版者 Госэнергоиздат · 1953年版

译 者 刘 宁 馨

上海科学技术出版社出版

(上海南京西路2004号)

上海市书刊出版业营业登记证093号

新华书店上海发行所发行 各地新华书店经售

新华印刷厂印刷

*
开本 850×1168 1/32 印张 4 8/32 字数 113,000

1960年2月第1版 1960年2月第1次印刷

印数 1~4,000

统一书号：15119 · 1418

定 价：(十二) 0.60 元



序

由于工业上生产的全面机械化和工艺过程自动化的飞速发展，仪器制造业逐渐起着显著的作用。苏联共产党第十九次代表大会关于发展国民经济的第五个五年计划的指示中规定，在五年中控制和检验仪器以及自动机械，遥控装置应当增产1.7倍左右，而广泛使用于电气装置、检验设备、自动机械和通讯上的各种电容器的生产也应当提高到一个新的阶段。

本书简明地叙述了广泛使用于现代无线电设备和自动机械中的小功率陶瓷电容器的制造工艺、使用性能和试验方法。

书中所引资料有很多是各无线电陶瓷制造厂同事们集体研究的结果，作者感谢他们给予帮助，提出建议和供给实验资料。

同时，作者对 Н. П. 鲍果罗奇茨基和 В. Т. 列涅在本书写作过程中所给予的很多宝贵建议和指示表示感谢，并感谢 Д. М. 卡查尔诺夫斯基在校阅原稿中作了许多工作。

作 者

目 录

序

导 言 1

第一章 陶瓷电容器在无线电设备中的应用及其特性 4

§ 1. 对无线电设备的要求概论 4

§ 2. 陶瓷电容器的主要特性 8

第二章 陶瓷电容器的结构和分类 32

§ 1. 主要的几种结构及其各部分 32

§ 2. 电容器的分类和一些技术资料 41

第三章 介质的制造工艺 50

§ 1. 陶瓷材料的种类和性能 50

§ 2. 工艺过程的基本程序 54

第四章 陶瓷电容器的电极被银和装配工艺 72

§ 1. 被银和烧银 72

§ 2. 引出线的装配与焊接 87

§ 3. 防潮 91

§ 4. 干燥 100

§ 5. 各类型式电容器的被银和装配特点 102

§ 6. 检验测量工序 104

§ 7. 测量操作的次序 114

第五章 现代陶瓷电容器应满足的技术要求 117

第六章 陶瓷电容器的试验方法 121

§ 1. 例行试验的原则 121

§ 2. 试验的项目和方法 124

导　　言

现代的高频技术，特别是无线电技术，对于高频带使用的绝缘材料，在高频电场中工作时的功率吸收方面，以及在恶劣气候和各种机械因素（冲击、震动等）影响下电性能和物理机械性能的稳定性方面，都提出了很高的要求。无线电技术的发展和发明及改进无线电设备的可能性，不仅决定于在改进工作原理和创造新电路方面的成就，而归根结底是取决于是否有质量极高的绝缘材料。我国科学技术的研究和成就提供了我国无线电工业采用高质量绝缘材料的可能性，这些材料中占首要地位的就是高频陶瓷。

杰出的十八世纪的陶瓷专家德米特里·伊凡诺维奇·维諾格拉道夫奠定了俄国陶瓷生产的基础，是他制造出了第一个俄国瓷器。他的研究和实验是根据当时已有的化学知识进行的，因此完全表现出当时的科学特点。俄国第一座陶瓷工厂（“瓷器制造厂”）是在1744年建立的，当时在距古彼得格勒8公里处的“涅瓦砖厂”开始了俄国瓷器的试制和生产工作。

从这时起直到自己生命结束时止，即自1744年到1758年，Д. И. 维諾格拉道夫继续改善瓷料成分，找寻新的原料和确定工艺。他劳动的结晶系统地整理在“纯净陶瓷概论”手稿中，这本手稿差不多在作者逝世两百年之后才问世。它是科学史上的第一本陶瓷生产工艺文献。伟大的罗蒙诺索夫的同时代人德·伊·维諾格拉道夫正确地把化学看作自己一切工艺研究的“主导”。

俄国科学家Д. И. 門捷列夫，Н. Н. 柯施卡列夫，Е. С. 費道罗夫，Ф. Ю. 列紋松-列辛克，В. И. 維爾納茨基，А. Е. 費尔斯曼，Н. С. 庫尔納科夫，А. А. 巴依科夫，Л. К. 納德罗依茨，П. В. 叶列梅耶夫，В. В. 多庫恰耶夫，И. А. 捷苗特钦斯基，С. М. 庫尔巴托夫，Е. И. 奥尔洛夫，А. М. 沙科洛夫等人，在硅

酸盐科学方面作出了极其巨大的貢獻，他們杰出的工作奠定了硅酸盐物理化学以及其他与陶瓷生产有关的科学和技术部門的发展基础。但是在革命前的俄国，陶瓷工业的发展主要是在家用陶瓷和日用瓷器生产方面。

只是在偉大的十月社会主义革命之后，才建立了适应国民经济逐渐发展要求的工业陶瓷生产的全部必要条件。早在1919年，还是在緊張的内战时期，苏維埃政府就在列宁格勒建立了国立陶瓷科学研究院(ТИКИ)。稍后又在莫斯科建立了国立电瓷研究院(ТИЭКИ)。很多苏联科学家和工程师們的工作大大地推动了苏联所謂細瓷工业的发展，其中尤其要提到的有科学院院士Д. С. 别良金，П. П. 布德尼科夫，П. Ф. 波諾馬列夫，И. Я. 尤尔却克，А. С. 别尔克曼，П. О. 格里波夫斯基，Г. А. 斯捷潘諾夫，С. Н. 格拉切夫，И. Д. 芬克尔施坦因，Г. А. 斯莫林斯基等等。在几个五年計劃期間，苏联陶瓷工业和各陶瓷科学研究院已經拥有现代化的設备和仪器，把細瓷工业发展到了新的更高的阶段。

无线电技术的飞速发展刺激了高频专用陶瓷的发展，它的生产現在已形成独立的专业工业部門。在这极其重要的陶瓷工业部門的发展过程中起了重大作用的苏联科学家和工程师有：В. М. 吳尔，Г. И. 斯卡納維，Н. П. 鮑果罗奇茨基，И. Д. 弗里德別尔克，Д. М. 卡察爾諾夫斯基等人以及电站和电气工业部各科学研究院的全体同志。

我国科学技术的成就，使苏联在高频陶瓷工业(或者照一般称呼：无线电陶瓷工业)的发展水平上跃登世界主导地位。

在很多种现代无线电设备中，用无线电瓷做的絕緣零件所占比重超过80%。此外，整个由瓷板和陶瓷构件用各种方法滲涂上无线电线路元件(电阻、电容器、感应綫圈及接綫等)而組成的无线电设备的生产，近年来也正在蓬勃发展。

无线电陶瓷按其使用范围或制件形式可分为下列主要几类：

1. 无线电装置瓷——綫圈骨架和可变电感器的骨架，以及感应綫圈和可变电感器，各种瓷板、瓷軸、套管、瓷珠、灯座、非綫繞电

阻骨架等。

2. 真空瓷——属于这类的是应用于电真空仪器之瓷件。

3. 耐热瓷——用以制造在高温条件下工作的瓷件，如线绕电阻和电位器等。

4. 电容器陶瓷——包括所有用作陶瓷电容器介质的瓷料。

本书将介绍在小功率陶瓷电容器生产中应用较广的各种陶瓷，并详述这类电容器的基本性能、制造工艺和检验方法。

下文中为了简单起见，小功率陶瓷电容器即简称为“陶瓷电容器”。

第一章 陶瓷电容器在无线电设备中的应用及其特性

§ 1. 对无线电设备的要求概論

无线电自 A. C. 波波夫发明以来，就作为一种通讯工具获得了迅速的发展，而现时在国民经济各部门中更是极其广泛地使用着无线电。

现代应用的无线电设备按其使用情况可分为下列主要四类：

1. 广播用无线电设备(包括电视设备)。
2. 业务用无线电设备——供各种业务通讯的固定和流动无线电装置。
3. 专用无线电设备——无线电定位器、电视设备、遥控装置、野外通讯设备等。
4. 用电气方法测量电气数值和非电气数值的测量用无线电仪器。

现代的高频发生器是电子管振荡器。电子管振荡器分为两大类，即他激振荡器和自激振荡器，在两种情况下其主要的元件都是由电容和电感按一定规律组合成的振荡电路。

在他激振荡器中，振荡电路主要起某种变压装置的作用，利用这种作用使振荡器的最佳阻抗与它的负载阻抗相匹配。自激振荡器中振荡电路的主要作用是在于保证栅极电压与屏极电压之间必要的相位关系和振荡器的振荡频率的稳定性。尽管在他激振荡器中和在自激振荡器中振荡电路的功用不同，但是现代电子管振荡器振荡电路的固有振荡频率都应当高度稳定。

对于自激振荡器，要求振荡电路具有高度稳定性这一点特别重要，因为它决定并控制着整个无线电设备的频率。

只有当振荡电路的固有频率在各种因素的影响下改变不大时，高频电子管振荡器的工作才能稳定。

振荡电路的固有频率的偏差 Δf_0 决定于电路中电容的误差 ΔC_k 和电感的误差 ΔL_k 。

在无线电工程学教程中已经证明固有频率的偏差：

$$\Delta f_0 = -\frac{1}{2C_k} f_0 \Delta C_k - \frac{1}{2L_k} f_0 \Delta L_k \quad (1)$$

式中： C_k 及 L_k 是振荡电路中的电容和电感。

在现代作得很好的振荡电路中，电感比起电容来通常要稳定得多，因此按照一般所知的近似度，可以略去因电感变动而引起的频率变化，这时我们就得出下面计算频率不稳定性的近似公式：

$$\frac{\Delta f_0}{f_0} \approx -\frac{1}{2} \frac{\Delta C_k}{C_k} \quad (2)$$

对于使用在现代无线电装置中的自激振荡器在频率稳定性方面所提出的要求极高，按照现行标准，频率变化的容许绝对值在很多情况下是从 ± 250 周到 ± 1 周。

当工作频率 $f = 3 \times 10^6$ 周（波长 $\lambda = 100$ 米）时，相对的频率变动容许值或不稳定性 $\frac{\Delta f}{f}$ 应当在下式所示的范围内。

$$\frac{\Delta f}{f} = 8.3 \times 10^{-5} \sim 3.3 \times 10^{-7} \quad (3)$$

显然，这些数值也就决定振荡电路中容许的电容不稳定值。

振荡电路的固有频率必须高度稳定，这就是对无线电设备提出的第一项要求。

在前面所讲的各类现代无线电设备中，有很多在使用过程中要受到一系列因素的影响，这些因素就能成为降低频率稳定度的原因。属于这些因素的首先就是：周围温度慢慢改变（上升或下降）或突然改变，机械振动和空气湿度升高。应当估计到这些因素也可能同时作用于设备。

1. 设备内部温度改变 在苏联某些地区气温达 $+50^\circ\text{C}$ ，而稳定的最高温度达 $+40^\circ\text{C}$ 。在一定条件下，无线电设备内部的温

度可能超过周围空气温度 $25\sim30^{\circ}\text{C}$ 。

当无线电设备是在靠近发动机或其他工作热度很高的设备工作时，无线电设备周围空气的温度有时可能升高到 $+50^{\circ}\text{C}$ ，而无线电设备内部的温度也会相应地增高。

这样，无线电设备在工作中的某些时刻或某一段工作期间，内部温度可达 $90\sim100^{\circ}\text{C}$ ；而另一方面，其周围温度又可能大大低于正常温度，降至 -50°C 。

2. 冲击或震动 无线电设备在使用和运输过程中，设备的使用和运动情况所发生的急剧和突然的改变可以称为冲击，这种冲击在包装好的设备运输和搬运时可能产生，而在运动情况下使用时也可能产生，例如汽车用无线电设备就是这样。如果在无线电设备的运输包装上以及在装成或使用中不采取减震措施，就会常常受到机械破坏。在冲击和震动下，无线电零件和整个设备就受到加速度的影响。加速度的容许值决定于零件和设备的机械强度的安全值。无线电设备在汽车运输中遇到不平之处时，就等于将它从 25 毫米高处掷到坚硬的地基上，冲击力量之大由此可见。

某些无线电设备（例如汽车用无线电设备等）的绝大多数零件和部件经常受震，而这种震动是由该设备的使用条件所造成的。

当震动的频率接近或等于系统内固有振动频率时，这种震动就很危险，因为这两个频率彼此愈接近，则愈可能破坏这些零件、部件以至整个设备。

某些机械系统所引起的震动的频率，有时是在无线电设备元件的固有振动频率的范围以内，这可以从表 1 中看出：

表 1 振动频率及振幅

振 动 频 率 (周)	可 能 的 振 动 振 幅
6.0	2.0
30.0	0.05
15.0	0.5
150.0	0.02

3. 周围相对湿度增高（达 $98\sim100\%$ ） 这样的相对湿度通常

都是与高温同时发生的。因此，必须注意到，即使在采用了最完善的温度补偿方法，如果不同时采取足够可靠的无线电设备防潮措施，也得不到理想的結果。苏联有些地区在温度达 $+40^{\circ}\text{C}$ 时相对湿度可能达95~98%。此外，这样的高温、高湿当无线电设备在下大雨露天使用时也可能发生。无线电设备工作中的某些时期（最常见是初始时期）更可作为这样的高温、高相对湿度同时存在的典型，并且是很不利的，例如，将设备从露天（冬季）带到温室内，这时无线电设备的零件和部件上就会大量聚集水分，相对湿度可能达到98~100%，而设备内部温度可能达到 $+50\sim+60^{\circ}\text{C}$ 。

4. 剧烈的热震或溫度低降（由 -60° 至 $+70^{\circ}$ ） 根据前面所举的例子，当把极冷的无线电设备放入温室时，不仅在它上面会聚集水分，而且这个设备的所有零件和部件都遇到剧烈的温度变化，即所谓热震。无线电设备在高空使用时也有这种現象。如果夏天地面的温度为 $+20\sim30^{\circ}\text{C}$ ，在3~4千米高处就等于 0° ，而在10~12公里高处温度就达 -50 至 -60°C 。显然，在以很高的速度上升时，整个无线电设备及其各部件、零件都将受到剧烈的温度变化的影响。因此对它的耐热变性能要提出极高的要求。

由于无线电设备的特殊工作条件以及频率应当稳定的先决要求，产生了对现代无线电设备的第二项基本要求，即无线电设备内的零件和部件在使用条件和气候的影响下，其各项主要参数和特性固定不变。

用来制造无线电设备的材料，包括质量最好的材料，都会在不同程度上老化，因此用这些材料做成的零件和部件的各项参数便会逐渐发生变化。这种情况就决定了第三项要求，即无线电设备（当然也就是它的零件和部件）的各项基本参数和特性应该稳定。必须指出，要保证满足此项要求，不仅是要选用老化最轻微的材料，而且可以应用合理设计无线电设备的方法，特别是用所谓真空密封法。整个无线电设备的密封在大多数情况下是不可能的，因为这样就不能够使操纵机构（调整手柄）与可动系统，例如可变电容器或电感器相连。任何密封方法都不可能完全消除水分渗入的

可能。

最近有人建議了一些操纵元件和調整机构連接的新方法(磁动連接,可逆电动机和減速器等),但是由于极其复杂和价昂,因而暂时还不可能广泛地在工业上采用。

因此,最正确和最合理的方法应当是将无线电设备内部最重要的零件和部件进行真空密封,并最大可能地保护整个无线电设备不为水分所渗入和受其影响。

这样,现代无线电设备的工作的优劣和可靠性,归根結底是取决于它的各个組成部分——部件和零件的工作的优劣和可靠性,而各种无线电零件在保証无线电设备工作的稳定性方面作用更是巨大。

任何现代无线电设备的电路都是电子管、电感、电阻和电容彼此按一定方式連接起来的組合体。

无论何种无线电设备都經常采用的一些元件称为通用或广用零件,属于这种无线电零件的,首先就是各种电阻和电容器。

在設計和制造某种无线电装置时,应根据它在稳定性方面的具体要求选择稳定的通用零件,这种零件在逐渐老化和各种經常同时产生的气候和机械因素的影响下,物理性、电气性和机械性不会变化。这样的要求对于所有通用零件,包括电容器在内都是适当的。

§ 2. 陶瓷电容器的主要特性

现在我們来研究一下陶瓷电容器的主要特性,这些特性决定着它在无线电设备中应用的可能性和合理性。

1. 电容 陶瓷电容器(单件)的标称电容值是 $1\sim 1000$ 微微法,而几个电容器联成的电容器組可达 $3000\sim 5000$ 微微法。大批生产的电容器和电容器組其电容与标称值的誤差可不超过 $\pm 2\%$,这样,陶瓷电容器就能够使用在现代无线电设备內最重要的线路和部件中。

2. 陶瓷电容器的电容有极高的穩定性,它不会逐渐变化,这

主要是由下面一些它在结构上的特点所保证的：

- a) 陶瓷电容器是单层电容器，从它所有特性(其中包括电容)的稳定性看来，可以确定它比其他所有多层电容器有着许多无可置疑的优点；
- b) 陶瓷电容器的介质是高频无机材料，这种材料几乎不会老化；
- c) 陶瓷电容器的极片(电极)与介质紧密粘结。下面将详述各种外部条件(温度、湿度和气压)对陶瓷电容器电容值稳定性的影响。

在表 2 中列出了将陶瓷电容器进行三个月试验的结果，这个试验是使电容器处于露天自然老化的情况下进行的，时间是十月、十一月和十二月，在试验期中相对湿度增加得很高(93%)，温度为+12~+2°C。

表 2 电容器由于在露天中自然老化而发生的电容改变

电容器型号	试品编号	测得的电容量(微微法)		
		十月	十一月	十二月
KTK	1	16.7	16.7	16.6
	2	16.6	16.5	16.7
	3	16.6	16.5	16.5
	4	16.8	16.6	16.8
	5	17.5	17.4	17.5
	6	16.9	16.9	16.9
	7	16.8	16.8	16.9
	8	16.7	16.7	16.8
	9	16.5	16.5	16.5
	10	16.6	16.6	16.5
KTK	1	21.9	21.7	21.8
	2	46.6	46.5	46.6
	3	49.1	49.1	49.1
	4	44.6	44.4	44.6
	5	56.4	56.3	56.4
	6	47.0	46.9	47.0
	7	47.0	46.7	46.8
	8	48.7	48.5	48.6
	9	27.7	27.6	27.8
	10	53.6	53.4	53.5

注：测量是在将电容器移至室内，在温度为+20±5°C 和空气相对湿度为60~70% 的情况下放置4小时后进行的。

从表中可以看出，这些变化都在测量誤差的范围以内，因之可以認為电容器实际上是稳定的。当然，要作出多少关于某批电容器老化程度的完善結論，三个月的时间是不够的，然而試驗条件是很严格的，其結果也証明了試驗样品的质量是很高的。

3. 耗能 陶瓷电容器应用于小功率振蕩电路，在这种电路中有着决定意义的不是电容器的最大容許温升，而是电容器耗能給振蕩电路带来的附加衰耗的大小。

理想电容器的功率等于零。工业用电容器的絕緣材料和电容器极片上由于电場作用而产生功率相耗，一般都称这个功率为电容器的損耗功率。

图 1 为理想的和实际的电容器的电流和电压矢量图，图 1, 6 的矢量图相当于等值串联电路。

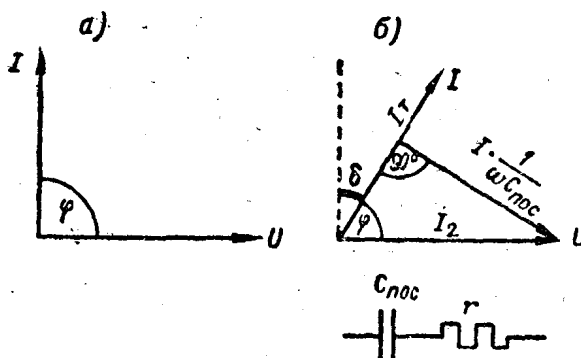


图 1 电流和电压的矢量图

a—理想电容器的矢量图(无损耗)； b—有损耗的电容器的矢量图

实际上有损失的电容器的等值电路可以設想为純电阻与电容的并联或串联电路，其損耗在数量上等于电容器中的損耗。等值并联电路及其相应的矢量图如图 2 所示。

說明損耗的特点的是 δ 角，这个角与实际上电容器中电流与电压的相位差 φ 之和等于 90° 。我們知道，电容器的无功功率是取决于电容器的端电压，交变电場的频率和电容器电容量的大小。

从矢量图(图 1 b)可以看出：

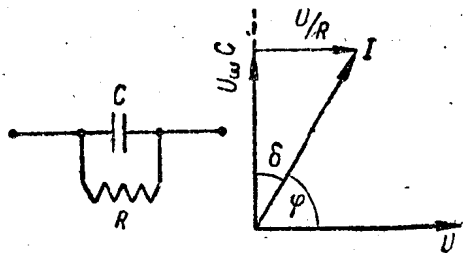


图 2. 带并联电阻的电容器的等值电路和矢量图

$$\operatorname{tg} \delta = \omega r C_{noc} \quad (4)$$

絕緣材料和极片的耗散功率(損耗功率)是由下式确定:

$$P_{nom} = I^2 r \quad (5)$$

根据等式(4), 电流 I 和电阻 r 可用下列式子表示:

$$I = \frac{U}{\sqrt{r^2 + \left(\frac{1}{\omega C_{noc}}\right)^2}} = \frac{U \omega C_{noc}}{\sqrt{1 + \operatorname{tg}^2 \delta}} \quad (6)$$

$$r = \frac{\operatorname{tg} \delta}{\omega C_{noc}} \quad (7)$$

将这些值代入式(5)得:

$$P_{nom} = \frac{(U \omega C_{noc})^2}{1 + \operatorname{tg}^2 \delta} \cdot \frac{\operatorname{tg} \delta}{\omega C_{noc}} = \frac{U^2 \omega C_{noc}}{1 + \operatorname{tg}^2 \delta} \quad (8)$$

对于并联电路(图 2), 損耗功率由下式确定:

$$P_{nom} = \frac{U^2}{R} \quad (9)$$

而从图 2 的矢量图中可以看出:

$$\operatorname{tg} \delta = \frac{1}{\omega C R} \quad (10)$$

由此式求得 R :

$$R = \frac{1}{\omega C \operatorname{tg} \delta} \quad (11)$$

将 R 之值代入式(9)得:

$$P_{nom} = U^2 \omega C \operatorname{tg} \delta \quad (12)$$

在无线电工学中証得, 串联等值电路的电容 C_{noc} 与并联等值

电路的电容 C 有着下列关系：

$$C = \frac{C_{noc}}{1 + \operatorname{tg}^2 \delta}$$

因此，正如所預料到的，公式(8)与(12)求得的損耗值是一样的，而不决定于所采用的等值电路。

当 δ 很小时（只有几度）， $\operatorname{tg}^2 \delta$ 的值比 1 小，此时

$$C \approx C_{noc}$$

电容器的无功功率就可用下式表示：

$$P_r = U^2 \omega C$$

因此損耗功率就可写成下式：

$$P_{nom} = P_r \operatorname{tg} \delta$$

从后一式子可以看出，电容器的損耗与它的无功功率有着密切的关系。当电容器的損耗不致使它发生过度温升时的无功功率，应当認為是該电容器的容許无功功率。

电容器的損耗是由电极損耗和介质損耗所构成的。

介质損耗的来源有下列几点：

- a) 由于介质中离子位移所引起的离子損耗。
- b) 結构不均匀的固体介质所特有的張弛損耗。对于我們所研究的陶瓷电容器，这种損耗应当認為是主要的損耗。
- c) 偶极子損耗。这种損耗乃是由于交变电場作用而使得介质极化分子发生旋转或者极化群发生位移而引起的。在研究陶瓷电容器时，这种損耗在大多数情况下可以略去不計。
- d) 由于介质中气体杂质游离而发生的損耗。在研究陶瓷电容器时这不是重要的損耗，因为其高頻工作电压不超过 250 伏（实效值）。
- e) 由于电极边缘游离所引起的損耗。低无功功率陶瓷电容器中在工作电压下此項損耗照例是不存在的。

这样，对于陶瓷电容器就应当注意两种介质損耗，即离子損耗与張弛損耗。现代的工艺可能制造出的电容器陶瓷，它的这两种損耗的总和可以达到极小的程度。

除了介质损耗以外，还有电容器电极的损耗。分别测量这两种损耗有很大的困难，而且暂时还不可能达到足够的精确度，但是可以照下列方式作近似测量。

测量损耗角是用普通瓷管进行，瓷管内外用烧渗法镀上银电极，然后将这个电容器与无内电极的瓷管的电极串联，重新测量，此时可看到损耗角的增加为初测值的 10~15%，这是因为第二个瓷管的银层有电阻的缘故。用计算的方法可以确定这个电阻是等于电容器内外电极电阻之和。

以 r_1 表示电容器的电极电阻，以 r_2 表示串接瓷管外电极的电阻，整个线路的损耗角正切就可用下式表示：

$$\operatorname{tg} \delta = \omega C_{noc} (r_1 + r_2) \quad (13)$$

式中 ω ——测量所用频率；

C_{noc} ——电容器以等值串联电路表示时的电容。

测量证明，在被镀所用材料质量很好而且银层均匀一致的情况下，损耗角的增加不超过初测值的 10~15%。根据这个结果可以得出一点结论，即陶瓷电容器当频率为 1 兆周左右时，耗能主要是取决于绝缘材料的介质损耗①。

现代高等型式的陶瓷电容器的介质损耗角正切不超过 $(10~12) \times 10^{-4}$ ，所以就这个参数而论，电容器陶瓷是目前出名的优良介质之一。这种电容器在尺寸极小的情况下其无功功率达 125 伏安，而且它完全能保证在小功率振荡线路中可靠地使用。

电容器的质量通常以其质量因数即介质损耗角正切的倒数表示：

$$Q = \frac{1}{\operatorname{tg} \delta} \quad (14)$$

陶瓷电容器的质量因数不亚于云母电容器，而其他一些特性则远远超过云母电容器。

陶瓷电容器的耗能不仅很小，而且特别重要的是，即使当它处

① 此处所述的测量电极损耗的方法是 A. J. 哈林斯基所研究出的，作者在此感谢他热情地提供了许多资料。